



بررسی ریز رخساره‌ها و محیط رسوبی سازند قم در ناحیه جزه (جنوب کاشان)

ابراهیم محمدی^{۱*}، اموالله صفری^۲، حسین وزیری مقدم^۳، محمد محمدی منفرد^۳

۱- دانشجوی کارشناسی ارشد چینه شناسی و فسیل شناسی، دانشگاه اصفهان، ایران

۲- عضو هیأت علمی دانشگاه اصفهان، ایران

۳- دانشجوی دکتری چینه شناسی و فسیل شناسی، دانشگاه اصفهان، ایران

* پست الکترونیک: emohammadi02@gmail.com

تاریخ پذیرش: ۸۸/۴/۲۸

تاریخ دریافت: ۸۷/۱۱/۱۹

چکیده

رسوبات سازند قم در ناحیه جزه، جنوب کاشان به سن روپلین - شاتین و ۲۹۹ متر ضخامت شامل سنگ آهکهای متوسط تا ضخیم لایه و توده‌ای، شیل و مارن بوده که با ناپیوستگی آذرین‌پی بر روی سنگهای ولکانیکی اثوسن قرار گرفته و در انتهای توسعه آبرفت پوشیده شده‌اند. با برداشت ۲۳۰ نمونه از این برش، مطالعه و بررسی بافت‌های رسوبی، پتروگرافی و مطالعه فونای موجود، ۱۰ ریز رخساره متعلق به دو زیرمحیط رسوبی دریایی باز و لاگون شناسایی گردید. بر اساس تجزیه و تحلیل ریز رخساره‌ها و مشاهدات صحرایی، سازند قم در ناحیه مورد مطالعه در یک فلات باز نهشته شده است.

واژه‌های کلیدی: سازند قم، ریز رخساره، پلانفرم کربناته، الیگوسن.

پیش‌روی دریایی قم در الیگوسن پیشین به زیر آب رفته است در حالی که در حوضه پس کمان، محیط دریایی تا ابتدای الیگوسن پسین وجود نداشته است. سپس شرایط نرمال دریایی در هر دو حوضه در سراسر الیگوسن پسین حاکم شده است. در حوضه پیش کمان اصفهان - سیرجان این شرایط در طول آکیتانین و بوردیگالین پیشین تداوم داشته در حالی که در حوضه پس کمان قم در میوسن پیشین در نتیجه یک رژیم تکتونیکی فشارشی، ارتباط آن با اقیانوسهای باز، قطع شده و بین آبهای محصور در خشکی و دریایی باز، تبادل صورت نمی‌گرفته است. در آکیتانین، در حوضه قم

مقدمه
سازند قم از توالی ضخیمی از مارنهای دریایی، سنگهای کربناته، ژیپس و سیلیسی - آواری تشکیل شده است و رسوب گذاری آن در حوضه‌های قم و اصفهان - سیرجان در ایران مرکزی صورت گرفته است (روتر و همکاران، ۲۰۰۷). این حوضه‌ها توسط یک سیستم کمان آتشفشاری که در زمان اثوسن تشکیل شده، از هم جدا شده‌اند (اشتوکلین و ستوده‌نیا، ۱۹۷۱). در هر دو حوضه رسوب گذاری دریایی سازند قم در الیگوسن آغاز شده و تا میوسن پیشین تداوم داشته است. در ابتداء، حوضه پیش کمان با

که در اوسن پسین آغاز شده و در نزدیکی مرز اوسن - الیگومن به اوج خود رسیده بود، روند گرم شدگی در الیگومن پسین آغاز گردید و تا میوسن میانی تداوم یافت. به عقیده رحیم زاده (۱۳۷۳)، احتمالاً ناپدید شدن دریای قم نتیجه افت جهانی سطح آب دریاها، عملکرد حرکات کوهزایی و یا تأثیر همزمان هر دو بوده است. همچنین بنا به نوشته ریوتور و همکاران (۲۰۰۷)، بسته شدن راه دریایی تیس و قطع ارتباط حوضه قم با آبهای آزاد هند و آرام پیشین (Proto-Indpacific) در بوردیگالین پیشین در اثر برخورد پلیت آفریقایی - عربی با پلیت اوراسیا صورت گرفته است.

به دلیل تغییرات رخساره‌ای زیاد این سازند و نهشته شدن آن در حوضه‌های بین کوهستانی، نمی‌توان یک مدل رسوی را در همه جای ایران مرکزی برای این سازند در نظر گرفت. مطالعات انجام شده بر روی سازند قم نیز مؤید این واقعیت است به طوری که قدسی و لاسمی (۱۳۷۶) در جنوب شرق دماوند و مورده کوه فلاتی شیبدار، فیض‌نیا و مصفر (۱۳۷۷) در جنوب سمنان محیط دریایی کم ژرف‌تر (۱۳۷۷) در جنوب سمنان اخروی و امینی (۱۹۹۸) در ناحیه قم پلاتفرم کربناته از نوع رمپ، نائیجی (۱۳۷۹) در شمال ایوانکی در شرق تهران پلاتفرم کربناته از نوع رمپ، مومن زاده (۱۳۸۲) در جنوب شرق کاشان پلاتفرم کربناته از نوع فلات باز، وزیری مقدم و ترابی (۲۰۰۴) در غرب اردستان پلاتفرم کربناته از نوع فلات باز، دانشیان و درخشانی (۱۳۸۵) در جنوب گرمسار فلات (shelf)، صیرفیان و همکاران (۱۳۸۵) در کوه چرخه در منطقه نظری یک رمپ و بالاخره صدیقی (۱۳۸۷) در جنوب شرقی قم یک فلات باز و در تاقدیس نواب در جنوب شرقی کاشان یک رمپ هموکلینال با شیب ملایم، برای رسوب گذاری

شرایط دریایی محصور حاکم شده و خروج آن از آب به صورت پراکنده و متناوب همراه با تنشیت رسوبات تبخیری ثابت شده است (روتنر و همکاران، ۲۰۰۷).

تغییر رخساره در سازند قم بسیار زیاد است و به همین دلیل تاکنون برش الگویی برای آن معرفی نشده است (آقاباتی، ۱۳۸۳). بررسی رخساره‌ها و محیط رسوی سازند قم نشان می‌دهد که این سازند در سیستمهای رسوی گوناگونی نهشته شده است. به طور کلی رخساره‌های سازند قم را می‌توان در چهار دسته رخساره رودخانه‌ای - دلتایی، رخساره سکویی کربناتی - تبخیری، رخساره سراشیبی حاشیه سکویی کربناتی و رخساره منطقه عمیق تقسیم نمود (رحیم زاده، ۱۳۷۳).

نهشته‌های سازند قم نشانگر آخرین پیش‌روی دریا در ایران مرکزی است. این نهشته‌های دریایی در مکانهای متفاوت ضخامت مختلفی دارند به طوری که آقاباتی (۱۳۸۳) ضخامت آن را در بین سازندهای قرمز پایینی و بالایی در منطقه دهاج - انار ۱۰ تا ۱۵ متر و وحدتی دانشمند (۱۳۵۴) بیشترین ضخامت سازند قم را از منطقه دخان در غرب ساوه، ۳۶۱۳ متر گزارش نموده‌اند.

بربریان (۱۹۸۳) زایش حوضه رسوی سازند قم را ناشی از فروزانش پوسته اقیانوسی تیس جوان به زیر ایران مرکزی می‌داند که با بازشدگی پشت‌کمانی و نهشت رسوبات دریایی سازند قم و فرآیندهای آتشفسانی آلکالن، همراه بوده است، ولی در مورد چگونگی زایش حوضه پیش‌کمان سخنی به میان نیاورده است.

بالا آمدن سطح دریاها در اثر گرم شدن جهانی الیگومن پسین و تداوم آن تا میوسن میانی می‌تواند یکی دیگر از دلایل تشکیل نهشته‌های دریایی سازند قم باشد، چون به باور هارزاوس و همکاران (۲۰۰۷)، پس از کاهش تدریجی دما

خشک شدن نمونه‌ها، روزن داران آن جدا و بررسی گردید. درنهایت با استفاده از نتایج حاصل از بررسی ریز رخساره‌ها، نمودار پراکندگی عمودی ریزرخساره‌ها همراه با مدل رسویی سازند قم در ناحیه مورد مطالعه ترسیم گردید.

بحث

سازند قم در منطقه مورد بررسی با مختصات جغرافیایی $33^{\circ} 51' 21''$ عرض شمالی و $51^{\circ} 20' 24''$ طول شرقی در ۱۷ کیلومتری جنوب کاشان (شرق روستای جزه) واقع شده است (شکل ۱). براساس مطالعات ریوتو و همکاران (۲۰۰۷)، برش مورد مطالعه در حوضه پس کمان قم واقع شده است. رخمنوهای سازند قم در ناحیه مورد مطالعه با روند شمال باختی - جنوب خاوری 299 متر ضخامت داشته و شامل سنگ آهکهای متوسط لایه، ضخیم لایه و تودهای، شیل و مارن است. این سازند در برش مورد مطالعه با ناپیوستگی آذربین پی بر روی سنگهای ولکانیک ائوسن قرار دارد و در انتهای توسط آبرفت پوشیده شده است. بر اساس بررسی بافت‌های رسویی، پتروگرافی و فونای موجود، ۱۰ ریزرخساره (A) شناسایی گردید که به ترتیب از عمیق به سمت کم عمق عبارتند از:

ریزرخساره A) مارن

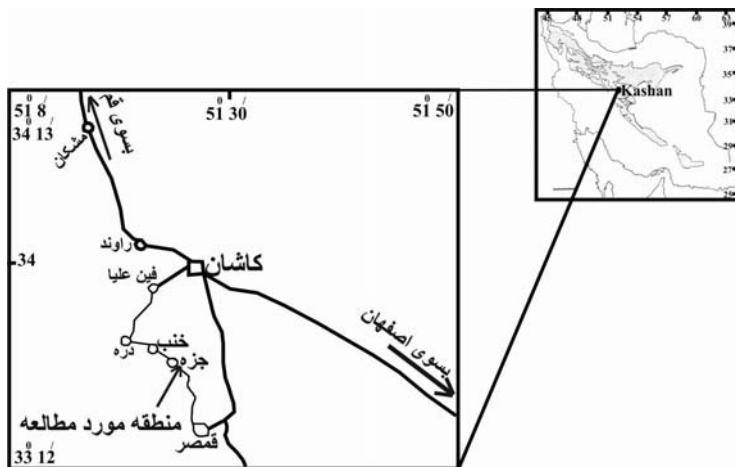
رخساره مارنی A در قسمت میانی و انتهایی توالی مورد مطالعه به رنگ زرد تا زرد مایل به سبز و سبز روشن تا سبز تیره و در تناوب با ریزرخساره B (متعلق به دریایی باز) دیده می‌شود (شکل ۳). نمونه‌های ایزوله به دست آمده از این رخساره شامل گلوبیترینا، سناسارینا، لنتی کولینا، سیبیسیدس، آمفیسترینا و الفیدیوم است.

نهشته‌های این سازند تشخیص داده‌اند. همچنین ریوتو و همکاران (۲۰۰۷) با مطالعه چینه نگاری زیستی و چینه نگاری سکانسی سازند قم در دو برش از حوضه پیش‌کمان و دو برش از حوضه پس کمان و هم ارزی (تطابق) آنها، پلاتفرم کربناته از نوع رمپ برای ته‌نشست سازند قم در نظر گرفته‌اند.

از آن جا که قدیمی‌ترین عضو سازند قم (عضوی نام) از ناحیه کاشان گزارش شده است، هدف اصلی این پژوهش تشخیص و تفکیک ریزرخساره‌های موجود و بازسازی محیط رسوی گذاری سازند قم در این ناحیه است.

روش مطالعه

در این تحقیق، پس از مطالعات صحرایی و با استفاده از نقشه زمین‌شناسی چهارگوش کاشان (رادفر، ۱۹۹۳)، یک برش چینه‌شناسی در ناحیه جزه واقع در جنوب کاشان انتخاب شد و از آن 230 نمونه به طور سیستماتیک، براساس تغییرات رخساره‌ای و بافتی برداشت گردید. از نمونه‌های سخت مقاطع نازک تهیه شد. مقاطع نازک تهیه شده از این نمونه‌ها مورد بررسی دقیق سنگ‌شناسی قرار گرفته و اجزای آن شناسایی و تفکیک گردید. در نهایت سنگهای آهکی به روشهای دانهام (۱۹۶۲) و امیری و کلاون (۱۹۷۲) نام‌گذاری شدند. برای آزاد سازی سنگواره‌ها از نمونه‌های نرمتر (شیلی و مارنی) از روش انجماد استفاده گردید. در این روش بعد از افزودن آب و آب اکسیژن، انجماد و انبساط مکرر نمونه‌ها تا خرد شدن کامل نمونه‌ها و آزاد سازی کامل سنگواره‌ها تکرار شد. سپس مجموعه رسویات به دست آمده با عمل غربال کردن و شست و شوی همزمان، تا حد ممکن تمیز و دانه‌بندی شدن و نمونه‌های جمع آوری شده بر روی الکهای 250 و 63 میکرون جمع آوری شد. پس از



شکل ۱: سمت راست: موقعیت کاشان و حدود تقریبی دریابی که سازند قم در آن نهشته شده است (درویش زاده، ۱۳۸۲).
سمت چپ: راههای دسترسی به ناحیه مورد مطالعه (با اصلاحات از موسسه جغرافیایی و کارتوگرافی گیاتاشناسی، ۱۳۸۴).

قابل تشخیص است. فراوانی آنها در سنگ به حدی است که گاهی کل سنگ از آنها تشکیل شده است (شکل ۴). در مقاطع نازک نیز فراوانی فسیلها به حدی است که اکثر دانه‌ها به هم چسبیده و فقط فضاهای باقی مانده بین آنها توسط گل کریباته پرشده است.

تفسیر: حضور گسترده لپیدوسيکلیناهای کشیده که اغلب سالم و بدون شکستگی هستند، شوری نرمال اقیانوسی و قسمتهای پایینی زون نوری و محیطی آرام و بدون تأثیر امواج را نشان می‌دهد (هوتنینگر، ۱۹۹۷؛ پومار، ۲۰۰۱؛ رومرو و همکاران، ۲۰۰۲). حضور روزن‌داران بهن و بزرگ نظیر لپیدوسيکلینیده‌ها و نومولیتیده‌ها، تشکیل این ریزرساره را در قسمت پایین زون نوری نشان می‌دهد (هوتنینگر، ۱۹۸۳). روزن‌داران بزرگ و کشیده عهد حاضر به دلیل حضور همیست جلبکی به بخش‌های عمیقتر زون نوردار محدود می‌شوند (کاسوویک و همکاران، ۲۰۰۴). روزن‌داران بزرگ، مانند هتروستزینا و آمفیستزینا در محیط‌های گرم و عمقه‌ای وسیعی از ۴۰ تا ۷۰ متری زیست می‌کنند (هالوک و گلن، ۱۹۸۶). بنابراین ریزرساره B در

تفسیر: تناوب این رخساره با رخساره‌های دریای باز (ریزرساره B) و وجود روزن‌داران پلاژیک (گلوبیژرینا) و بتیک (مانند سناسارینا، لنتی کولینا، سیبیسیدس، آمفیستزینا و الفیدیوم) در آن حاکی از تشکیل این رخساره در قسمتهای نسبتاً عمیق دریای باز (قسمت داخلی فلات خارجی) است. رخساره مشابهی را صدیقی (۱۳۸۷) از سازند قم در برش تاقدیس نواب معرفی کرده است.

ریزرساره B (پکستون - روودستون حاوی روزن‌داران با دیواره منفذدار (شکل ۱-۲)
دانه‌های اصلی تشکیل دهنده این ریزرساره شامل روزن‌داران با دیواره منفذدار مانند لپیدوسيکلیناهای کشیده، نومولیتیده‌های درشت (اوپر کولینا و هتروستزینا)، نوروتالیا و آمفیستزینا است که اغلب سالم و بدون شکستگی می‌باشند. بریوزوئر، خردنهای اکینوئید، دوکفهای و جلبک نیز به صورت پراکنده حضور دارند. اندازه فسیلها گاهی تا چند سانتی‌متر می‌رسد به طوری که در مشاهدات صحرایی با چشم غیرمسلح قابل رویت و حتی حجرات لپیدوسيکلیناهای

الیگوفوتیک را نشان می‌دهد (براندانو و کوردا، ۲۰۰۲). بنا به موارد ذکر شده در بالا، این رخساره در بخش بالای شیب قاره و زون الیگوفوتیک و عمق کمتری نسبت به رخساره قبلی نهشته شده است.

ریزرخساره D) پکستون-روdestون مرجان و کورالیناسه آدار، حاوی بیوکلاست (شکل ۳-۲)

عناصر اصلی تشکیل دهنده این ریزرخساره شامل قطعات مرجان و کورالیناسه آ است که غالباً حالت نسبتاً زاویه‌دار تا کمی گرد شده را نشان می‌دهند و به مقدار کمتری نیز دارای بریوزوئر، خردۀای دوکفه‌ای و اکینوئید هستند.

تفسیه: تجمع خردۀای مرجان و بیوکلاستهای دیگر نظری کورالیناسه آ نشان دهنده نور کافی و انرژی نسبتاً زیاد محیط است (ولیسون، ۱۹۷۵). فراوانی جلبک قرمز، موقعیت جلوی ریف، فلاتها و پشههای نواحی گرمسیری را نشان می‌دهد (پومار، ۲۰۰۱؛ اخروی و امینی، ۱۹۹۸). گردش‌گی محدود دانه‌ها بیانگر جابه‌جایی محدود آنهاست. بنابراین رخساره مذکور در بخش بالای سراشیب کریباته با نور کافی، انرژی نسبتاً زیاد و در اثر تجمع خردۀای مشتق شده از ریفهای کومه‌ای موجود در محیط‌های با گردش محدود آب (لاگون) تشکیل شده است. رخساره مشابهی را امیرشاه کرمی و همکاران (۲۰۰۷) از سازند آسماری در برش چمن بلبل معرفی کرده‌اند و محیط رسوب گذاری آن را به دلیل وجود قطعات مشتق شده از ریف کومه‌ای به ویژه مرجان و جلبکهای قرمز، به بخش بالای سراشیب کریباته نسبت داده‌اند.

ریزرخساره E) پکستون دارای روزن‌داران با دیواره منفذ و بدون منفذ و کورالیناسه آ (شکل ۴-۲)

دانه‌های اصلی تشکیل دهنده این ریزرخساره، روزن‌داران با

یک محیط دریایی باز با انرژی پایین تا متوسط ته نشین شده است (رومرو و همکاران، ۲۰۰۲). فراوانی فونای اسکلتی دریایی باز شامل لپیدوسیکلینیدهای نومولیتیدهای پهنه و بزرگ و کشیده نیز مؤید این نکته است.

ریزرخساره C) پکستون - روdestون دارای روزن‌داران با دیواره منفذدار، بریوزوئر و کورالیناسه آ (شکل ۲-۲)

دانه‌های اصلی تشکیل دهنده این ریزرخساره، روزن‌داران با دیواره منفذدار (لپیدوسیکلینا، نومولیتیده، نوروتالیا و آمفیسترنیا)، بریوزوئر و کورالیناسه آ را شامل می‌شود. در مقایسه با رخساره B، اندازه لپیدوسیکلیناهای نومولیتیدهای دارای رخساره کوچکتر و متورم‌تر است. خردۀای دوکفه‌ای، اکینوئید و مرجان عناصر فرعی این ریزرخساره را تشکیل می‌دهند. مشاهدات صحرایی نیز بیانگر آن است که لپیدوسیکلیناهای بر روی سنگهای مربوط به این ریزرخساره با چشم غیرمسلح قابل تشخیص است ولی فراوانی آنها کمتر و اندازه آنها نیز کوچکتر از لپیدوسیکلیناهای ریزرخساره B می‌باشد.

تفسیه: جلبک قرمز کورالیناسه آ با وجود وابسته بودن به نور می‌تواند در شرایط الیگوفوتیک نیز زندگی کند و در آبهای با نفوذ کم نور نیز به فراوانی دیده می‌شود (هالفار و موتی، ۲۰۰۵). موجودات هتروتروف مانند بریوزوآ مستقل از نور و عمق آب هستند و بنابراین می‌توانند در اعماق بیشتر و شرایط کم انرژی تر زندگی کنند (پومار، ۲۰۰۱). فراوانی کورالیناسه آ و روزن‌داران بزرگ (هتروسترنیا، اوپر کولینا و آمفیسترنیا) در این ریزرخساره نشان دهنده فلات میانی و شرایط الیگوفوتیک است (براندانو و کوردا، ۲۰۰۲؛ امیرشاه کرمی و همکاران، b و ۲۰۰۷a). حضور نوروتالیا و لپیدوسیکلیناهای متورم، بخش بالای شیب قاره و زون

ریز رخساره G) و کستون - پکستون دارای روزن داران با دیواره بدون منفذ و کورالیناسه آ حاوی بیوکلاست (شکل ۶-۲)

عناصر اصلی تشکیل دهنده این ریز رخساره شامل روزن داران با دیواره پورسلاپوز (میلیولید و آلوئولینید) و کورالیناسه آ است. دندربینا، پنروپلیس، تکستولاریا، استراکود، خردہ دوکفه‌ای و گاستروپود نیز به نسبت کمتری حضور دارند.

تفسیر: حضور فراوان روزن داران با دیواره پورسلاپوز (میلیولیدها و آلوئولینیدها)، محیط‌های با گردش بسیار محدود آب و نسبتاً هیپرسالین را نشان می‌دهد (گیل، ۲۰۰۰). حضور فراوان میلیولید بیانگر محیط‌های خیلی کم عمق کم شور تا فوق شور با آشفتگی کم و گل فراوان است (وزیری مقدم و ترابی، ۲۰۰۴). بنابراین این ریز رخساره در محیط‌های با گردش بسیار محدود آب، شوری بالا و گل فراوان نهشته شده است. اخروی و امینی (۱۹۹۸) ریز رخساره مشابهی را از محیط لاگون فلات در رسوبات میوسن حوضه ایران مرکزی گزارش نموده‌اند.

ریز رخساره H) رخساره شیلی

رخساره شیلی H در پایین توالی مورد مطالعه دیده می‌شود. رنگ آن در قسمت‌های پایینی قرمز تا قرمز تیره و به سمت بالا به رنگ خاکستری تیره تا سبز تغییر می‌کند. این رخساره در تناب با ریز رخساره‌های لاگونی (G، I و J) است (شکل ۳).

نمونه‌های ایزوله به دست آمده از این ریز رخساره شامل استراکود و میلیولید است.

تفسیر: تناب این رخساره با رخساره‌های لاگونی وجود میلیولید همراه با استراکود، تشکیل آن را در محیطی با گردش محدود آب (لاگونهای محصور شده) نشان می‌دهد.

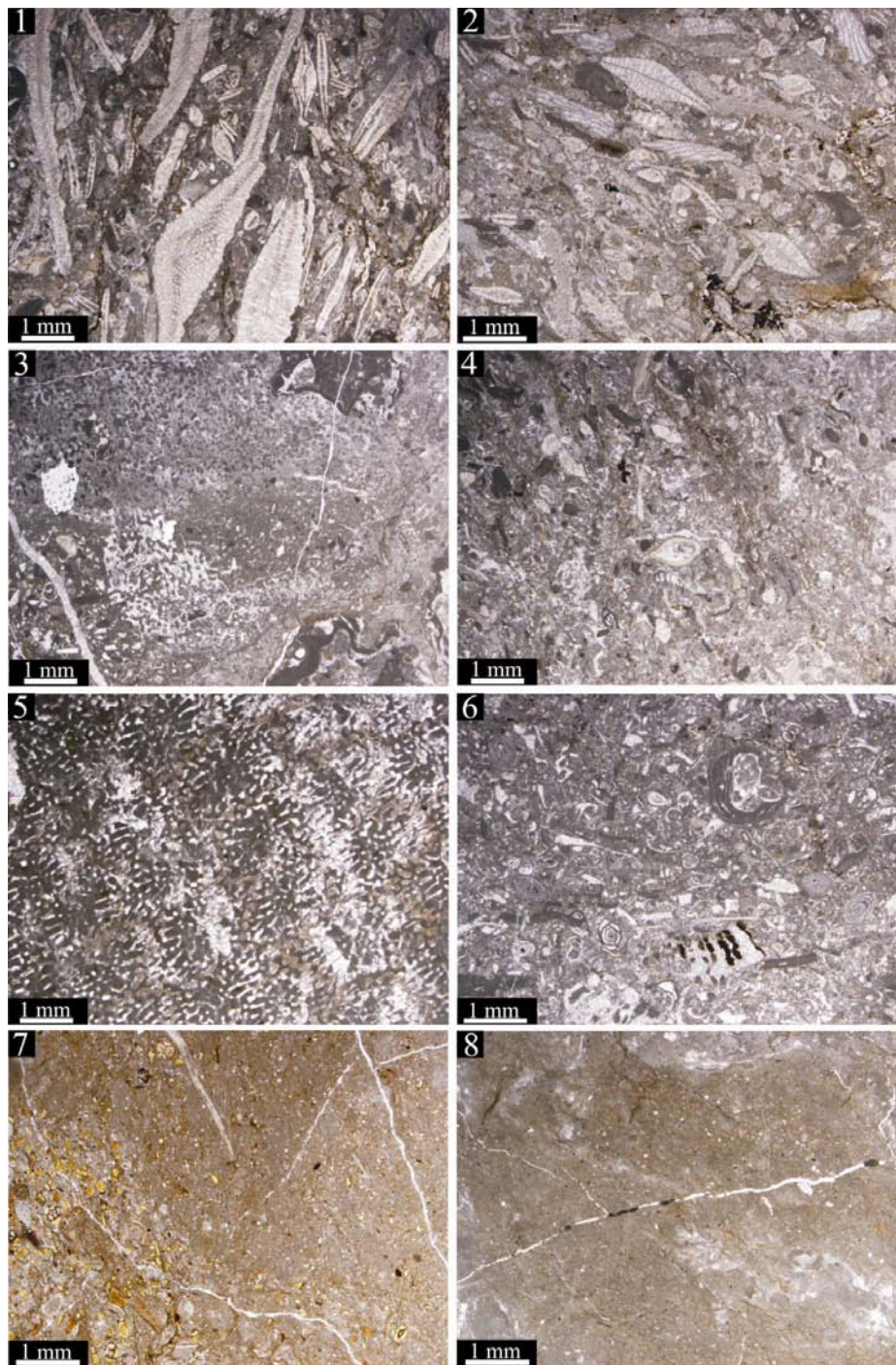
لپیدوسيکلینا و نئوروتالیا) کوتاه و متورم، روزن داران با دیواره پورسلاپوز (مانند میلیولید و آلوئولینید) و کورالیناسه آ است و خردہ دوکفه‌ای، اکینوئید، برویزوئر و مرجان نیز به صورت پراکنده حضور دارند.

تفسیر: روزن داران با دیواره هیالین آبهای با شوری نرمال دریایی را برای زندگی ترجیح می‌دهند ولی روزن داران با دیواره پورسلاپوز معمولاً در آبهای کم عمق با گردش محدود و شوری بالا زندگی می‌کنند. حضور روزن داران بتیک منفذدار و بدون منفذ در این ریز رخساره در کنار یکدیگر بیانگر رسوب گذاری آن در لاگون فلات (محیط‌های کم عمق و نیمه محصور فلات) است (گیل، ۲۰۰۰؛ رومرو و همکاران، ۲۰۰۲؛ وزیری مقدم و همکاران، ۲۰۰۷a؛ امیرشاه کرمی و همکاران، ۲۰۰۷a b).

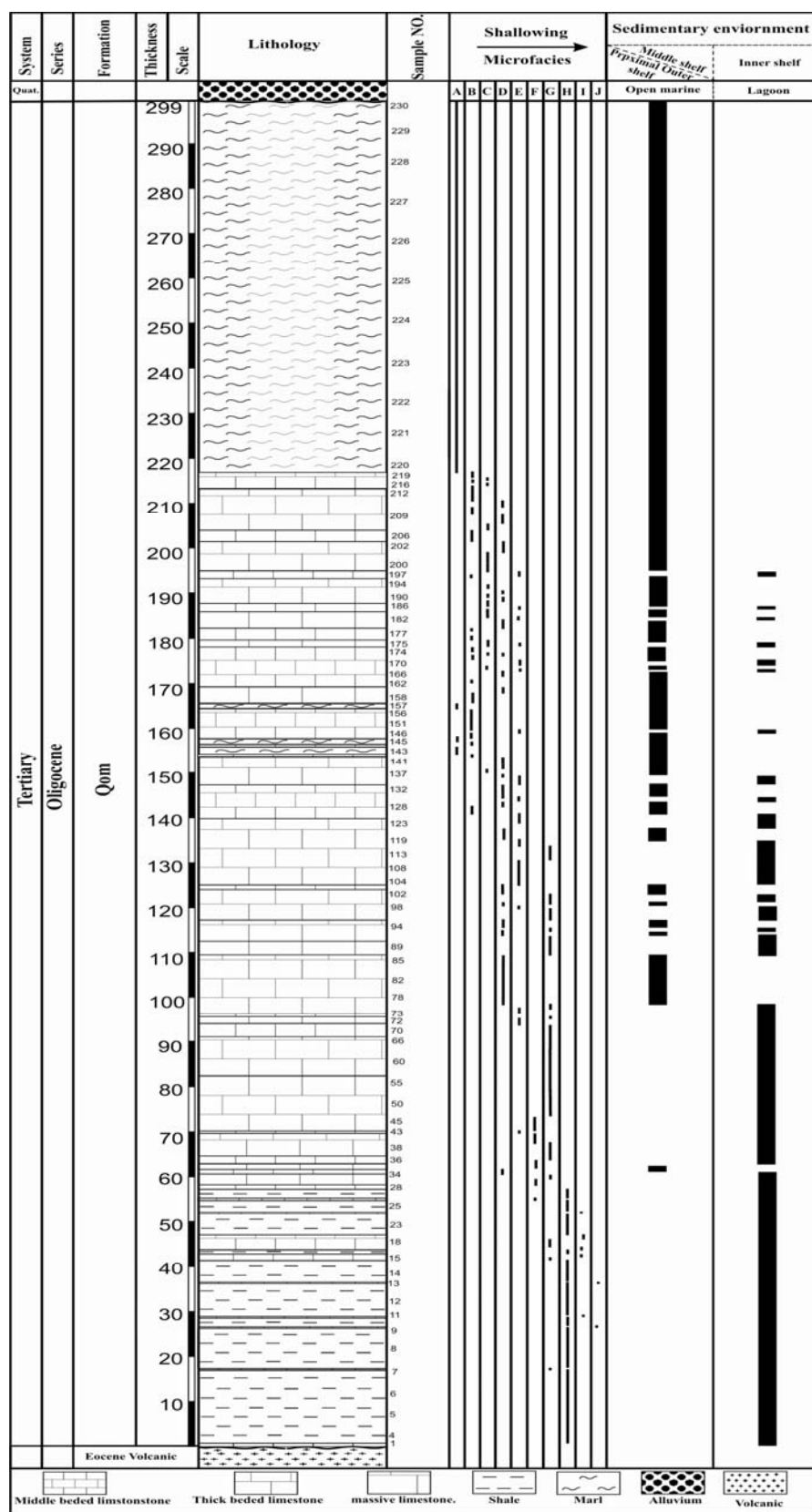
ریز رخساره F) کورال باندستون (شکل ۲-۵)

عناصر اصلی تشکیل دهنده این رخساره شامل مرجانهای سالم و پیوسته است.

تفسیر: بر اساس ریز رخساره‌های استاندارد ارائه شده توسط ویلسون (۱۹۷۵) و فلوگل (۲۰۰۴)، این ریز رخساره متعلق به ریف است ولی به دلیل تناوب این ریز رخساره با ریز رخساره‌های محیط با گردش محدود آب (لاگون) و همچنین با توجه به مشاهدات صحرایی (ناپیوسته بودن و قابل تعقیب نبودن آن در مسافت‌های طولانی)، ریفهای مذکور تکه‌ای (Patch reef) بوده و برخلاف رخساره ریف که در کمربند ۵ ویلسون (۱۹۷۵) تشکیل می‌شود، محیط تشکیل این ریز رخساره محیطی با گردش محدود آب (لاگونی) است (شکل ۴).



شکل ۲: پلیت ریزرخساره‌ها (PPL): ۱- ریزرخساره B: پکستون - روستون حاوی روزن داران با دیواره منفذدار؛ ۲- ریزرخساره C: پکستون - روستون دارای روزن داران با دیواره منفذدار، بریوزوئر و کورالیناسه آ؛ ۳- ریزرخساره D: پکستون - روستون مرجان و کورالیناسه آدار، حاوی بایوکلاست؛ ۴- ریزرخساره E: پکستون دارای روزن داران با دیواره منفذدار و بدون منفذ و کورالیناسه آ؛ ۵- ریزرخساره F: کورال بانستون؛ ۶- ریزرخساره G: پکستون - روستون دارای روزن داران با دیواره بدون منفذ و کورالیناسه آ حاوی بایوکلاست؛ ۷- ریزرخساره I: وکستون کوارتزدار؛ ۸- ریزرخساره L: مادستون کوارتزدار (کوراتز آن کمتر از ۱۰٪ است).



شکل ۳: نمودار پراکندگی عمودی ریزرسارهای سازند قم در ناحیه جزه (جنوب کاشان)، (در قسمت محیط رسوبی این نمودار پراکندگی ریزرسارهای فلات خارجی و فلات میانی که هر دو زیر مجموعه دریایی باز هستند با هم و در قسمت دریایی باز نشان داده شده است).



شکل ۴: سمت راست، محل برداشت نمونه ۱۵۵ از سنگ آهکهای متوسط لایه مربوط به ریزرخساره B، فراوانی لپیدو-سیکلینیدهای کشیده در سنگ به حدی زیاد است که تقریباً کل سنگ را تشکیل می‌دهند. سمت چپ، نمونه‌ای از مرجانهای مربوط به ریف کومه‌ای را نشان می‌دهد.

دانه‌های اسکلتی کربناته و غیر کربناته بسیار کمیابند و فاقد ساختارهای رسوبی است.

تفسیر: بافت سنگ، حضور پراکنده دانه‌های کوارتز، نبود فسیل، نبود شواهد خروج از آب و همچنین موقعیت آن در توالی (در تناوب بودن با ریزرخساره‌های H و I)، نشانگر نهشته شدن این ریزرخساره در قسمتهای کم عمق و به سمت ساحل لاگون است (ویلسون و اوائز، ۲۰۰۲) (شکل ۳).

مدل رسوبی

ریزرخساره‌های معرفی شده در برش مورد مطالعه همراه با اجتماع و پراکنده‌گی روزن‌داران با دیوه آهکی منفذدار و بدون منفذ، عوامل کلیدی در تفسیر شرایط محیط دیرین و ارائه مدل رسوبی در نهشته‌های مورد بررسی هستند.

نبود سد و ساختهای طوفانی نهشته شدن این رسوبات را در یک پلاتفرم کربناته از نوع رمپ غیرممکن می‌سازد. عدم حضور رسوبات گراویته‌ای (توربیدایتها و ریزشها)، ریفهای واقعی و پیوسته، سد و ساختهای طوفانی سبب شد که مدل رسوبی سازند قم در ناحیه جزه (جنوب کاشان) یک فلات باز در نظر گرفته شود (شکل ۵). براساس ریزرخساره‌های

ریزرخساره (I) و کستون کوارتزدار (شکل ۲-۲)

زمینه این ریز رخساره را گل کربناته تشکیل داده است. به صورت پراکنده دارای میلیولید، گاستروپود و خرددهای دوکفه‌ای است. دانه‌های اسکلتی این ریزرخساره بیش از ۱۰٪ و در برخی از مقاطع تا ۲۵٪ کل مقطع را تشکیل می‌دهد. این دانه‌ها معمولاً با هم ارتباط ندارند و به صورت شناور داخل زمینه گلی دیده می‌شوند. دانه‌های کوارتز نیز کمتر از ۱۰٪ کل سنگ را تشکیل می‌دهند.

تفسیر: وجود میلیولید و گاستروپودهای پراکنده، خردده دوکفه‌ای و دانه‌های پراکنده کوارتز و همچنین نبود شواهد خروج از آب مانند ترک گلی و ساختمانهای چشم پرنده‌ای بیانگر نهشته شدن این ریزرخساره در بخش‌های کم عمق و به سمت ساحل محیط‌های با گردش محدود آب (لاگون) است (ویلسون و اوائز، ۲۰۰۲).

ریزرخساره (J) مادستون کوارتزدار (شکل ۲-۸)

گل کربناته بیش از ۹۰ درصد و دانه‌های پراکنده کوارتز کمتر از ۱۰ درصد این ریزرخساره را تشکیل می‌دهند.

و ریزرخساره‌های C و D را به فلات میانی نزدیک (proximal middle shelf) نسبت داد (شکل ۵).

فلات داخلی ریزرخساره‌های E، F، G، H، I و J را شامل می‌شود. وجود لایه‌های رسوبی حاوی اجتماع دوگانه روزن‌داران هیالین و پورسلان‌نوز با بافت پکستون (رخساره E)، شرایط رسوب‌گذاری در حاشیه پلاتفرم و در بخش انتهایی لاگون به سمت دریای باز (لاگون فلات) در رمپ داخلی را نشان می‌دهد (گیل، ۲۰۰۰؛ رومرو و همکاران، ۲۰۰۲؛ وزیری مقدم و همکاران، ۲۰۰۶). ضخامت و تکرار زیاد رخساره E در طول توالی یانگر گذر تدریجی از آبهای با گردش آزاد دریای باز به آبهای با گردش محدود دریایی بسته (لاگون) است (شکل ۳). همچنین ضخیم لایه تا تودهای بودن سنگ آهکهای مربوط به این ریزرخساره یانگر شرایط نوری و مغذی مساعد و در نتیجه بالا بودن سرعت رسوب‌گذاری است.

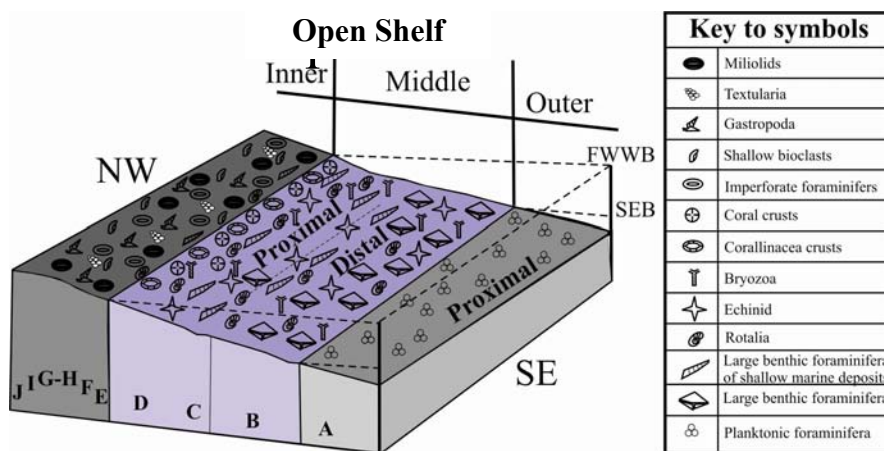
در بخش‌های کم عمق‌تر رمپ داخلی ریزرخساره‌های G، H و I (دارای روزن‌داران پورسلان‌نوز مانند آلوثولینیده، میلیولیده، دندریتینا، پنروپلیس و تکستولاریا) گسترش دارد که نشانگر بخش بالایی منطقه نورخیز و محیط‌های نسبتاً هیپرسالین با گردش محدود آب است (گیل، ۲۰۰۰؛ رومرو و همکاران، ۲۰۰۲؛ امیرشاه کرمی و همکاران، ۲۰۰۷a و b). ریفهای تکه‌ای (ریزرخساره F) نیز در تناب با ریزرخساره‌های E، G و H دیده می‌شوند (شکل ۳). ناپیوسته بودن این ریفها و قابل تعقیب نبودن آنها در مسافتهای طولانی در صحرا نشانگر این است که این ریفها واقعی نبوده بلکه از نوع ریفهای کومه‌ای بوده که به صورت پراکنده در تناب با ریزرخساره‌های محیط‌های نیمه محصور و محصور تشکیل شده است.

شناسایی شده و پراکنده‌گی موجودات، این فلات باز به سه بخش خارجی نزدیک، میانی و داخلی تقسیم می‌شود. حضور روزن‌داران پلانکتون (گلوبیژرینا) که شاخص دریای باز و محیط‌های آرام می‌باشد همراه با روزن‌داران بتیک (مانند سناسارینا، لنتی کولینا، سیبیسیدس، آمفیسترننا و الفیدیوم) در رسوبات مارنی ریزرخساره A و تناب آن با ریزرخساره B بیانگر نهشته شدن آن در فلات خارجی نزدیک است.

فلات میانی شامل ریزرخساره‌های B، C و D است و با رخساره‌های پکستون - روستون بیوکلاستی همراه با اجتماع روزن‌داران بزرگ کفزی با دیواره هیالین مانند لپیدوسیکلینا، نومولیتیده (اوپر کولینا، نومولیتس، هتروسترننا)، نئوروتالیا و آمفیسترننا مشخص می‌گردد. این اجتماع زیستی دارای هم‌زیست نوری دیاتومهای هستند و نشانگر شرایط نوری مزووفوتیک تا الیگوفوتیک است (هالوک و گلین، ۱۹۸۶؛ هوتینگر، ۱۹۹۷؛ گیل، ۲۰۰۰؛ پومار، ۲۰۰۱). حضور روزن‌داران بتیک منفذدار بزرگ و کشیده با همزیست نوری نظیر لپیدوسیکلینا و اوپر کولینا، نشانگر عمیق‌تر شدن حوضه رسوبی و کم شدن انرژی محیط رسوبی به سمت محیط دریای باز می‌باشد (رومرو و همکاران، ۲۰۰۲). در قسمتهای کم عمق یانزدیک فلات میانی (proximal middle shelf) روزن‌داران با دیواره هیالین، اندازه کوچک و دیواره ضخیم دارند در حالی که قسمتهای عمیق‌تر یا دورتر فلات میانی (distal middle shelf) با افزایش اندازه و پهن شدگی صدف روزن‌داران هیالین مشخص می‌گردند (هوتینگر، ۱۹۸۴؛ رومرو و همکاران، ۲۰۰۱). با توجه به نتایج حاصل از بررسی و تفسیر ریزرخساره‌ها و نوع و ویژگیهای فونای موجود می‌توان ریزرخساره B را به فلات میانی دور (distal middle shelf)

همچنین موقعیت آن در توالی رسوبی بیانگر نهشته شدن آن در قسمت رو به ساحل محیط کم عمق، کم انرژی و با گردش محدود آب (لاگون بسته) است (ویلسون و اوانز، ۲۰۰۷a؛ امیرشاه کرمی و همکاران، ۲۰۰۲).

کم عمق‌ترین بخش رمپ داخلی شامل لایه‌های مادستون کوارتزدار (ریزرخساره J) است که نبود هرگونه ساختمان رسوبی (مانند لامینه‌های مورب)، بیوکلاست، شواهد خروج از آب (مانند ترک گلی و ساختمانهای چشم پرنده‌ای) و



شکل ۵: مدل رسوبی پیشنهادی برای رسوب‌گذاری سازند قم در ناحیه جزه (جنوب کاشان)

۳- بر اساس تجزیه و تحلیل ریزرخسارهای سازند قم در ناحیه جزه، در یک فلات باز نهشته شده است.

۴- براساس ریزرخسارهای شناسایی شده و پراکندگی موجودات، فلات باز پیشنهاد شده برای رسوب‌گذاری سازند قم در ناحیه مورد مطالعه، به سه بخش خارجی نزدیک، میانی و داخلی تقسیم می‌شود.

۵- ریزرخساره A در فلات خارجی نزدیک، ریزرخساره های B، C و D در فلات میانی و ریزرخساره های E، F، G، H، I و J در فلات داخلی نهشته شده‌اند.

نتیجه‌گیری

۱- سازند قم در ناحیه مورد مطالعه با سن الیگوسن (روپلین - شاتین) و ۲۹۹ متر ضخامت شامل سنگ آهکهای متوسط تا ضخیم لایه و توده‌ای، شیل و مارن بوده که با ناپیوستگی آذرین پی روی سنگهای ولکانیکی ائوسن قرار گرفته و در انتهای توسط آبرفت پوشیده شده است.

۲- براساس بافت‌های رسوبی، بررسی پتروگرافی و فونای ناحیه مورد مطالعه ۱۰ ریزرخساره متعلق به دو زیر محیط دریایی باز با گردش آزاد آب (A تا D) و محیط با گردش محدود آب (لاگون) (F تا J) شناسایی گردید.

منابع

- آقاباتی، ع.، ۱۳۸۳. زمین شناسی ایران. سازمان زمین شناسی و اکتشافات معدنی کشور، ۵۸۶ ص.
- دانشیان، ج.، درخشانی، م.، ۱۳۸۵. محیط دیرینه سازند قم بر مبنای فرامینیفرا در برش قصر بهرام، دامنه‌های شمال غربی سیاه کوه، واقع در جنوب گرمسار. دهمین همایش انجمن زمین شناسی ایران، دانشگاه تربیت مدرس، ص ۱۹۱.

- درویش زاده، ع.، ۱۳۸۲. زمین شناسی ایران. انتشارات امیرکبیر، ۹۰۱ ص.
- رادرف، ج.، ۱۹۹۳. نقشه زمین شناسی چهار گوش کاشان با مقیاس ۱:۱۰۰۰۰۰. سازمان زمین شناسی و اکتشافات معدنی کشور.
- رحمی زاده، ف.، ۱۳۷۳. زمین شناسی ایران، الیگومن، میوسن، پلیوسن. سازمان زمین شناسی و اکتشافات معدنی کشور، ۳۱۱ ص.
- صدیقی، م.، ۱۳۸۷. چینه نگاری زیستی و محیط رسوی عضو C سازند قم در جنوب و جنوب شرق شهرستان قم. پایان نامه کارشناسی ارشد، دانشگاه اصفهان، ۹۹ ص.
- صیرفیان، ع.، ترابی، ح.، شجاعی، م.، ۱۳۸۵. میکروفاسیس و محیط رسوی سازند قم در منطقه نظر (کوه چرخه). مجله پژوهشی علوم پایه دانشگاه اصفهان، ۲۳: ۱۴۸-۱۳۵.
- فیض‌نیا، س.، مصفی، ح.ر.، ۱۳۷۷. میکروفاسیس و محیط رسوی سازند قم در منطقه سمنان. علوم زمین، ۲۸-۲۷: ۶۴-۷۷.
- قدسی، ع.ث.، لاسمی، ی.، ۱۳۷۶. بررسی میکروبیواستراتیگرافی و محیط رسوی سازند قم در مقاطع آجان (جنوب شرق دماوند) و مورده کوه (شمال شرق حوض سلطان). اولین همایش انجمن زمین شناسی ایران، تهران، ص ۷۲-۶۴.
- موسسه جغرافیایی و کارتوگرافی گیتاشناسی، ۱۳۸۴. اطلس راههای ایران با مقیاس ۱:۱۰۰۰۰۰۰.
- مومن زاده، ا.، ۱۳۸۲، چینه شناسی سازند قم در جنوب شرقی کاشان. پایان نامه کارشناسی ارشد، دانشگاه اصفهان، ۲۷۰ ص.
- نائیجی، م.ر.، ۱۳۷۹. محیط رسوی رسوبات مختلط کربناتی - اپی کلاستیک سازند قم در شرق تهران. چهارمین همایش انجمن زمین شناسی ایران، دانشگاه تبریز، ص ۶۵۲.
- وحدتی دانشمند، ف.، ۱۳۵۴. بررسی زمین شناسی و سنگ شناسی ناحیه دخان، ۷۵ کیلومتری غرب ساوه. پایان نامه کارشناسی ارشد، دانشگاه تهران، ۱۹۵ ص.

- Amirshahkarami, M., Vaziri-Moghaddam, H., & Taheri, A., 2007a. Paleoenviornmental model and sequence stratigraphy of The Asmari Formation in Southwest Iran. *Historical Biology*, 19: 173-183.
- Amirshahkarami, M., Vaziri-Moghaddam, H., & Taheri, A., 2007b. Sedimentary facies and sequence stratigraphy of The Asmari Formation at the Chaman- Bolbol, Zagros Basin, Iran. *Journal of Asian Earth Sciences*, 29: 947-959.
- Berberian, M., 1983. The southern Caspian; A compressional depression floored by a trapped, modified oceanic crust. *Canadians Journal of Earth Sciences*, 20: 163-183.
- Brandano, M., & Corda, L., 2002. Nutrients, sea level and tectonics: constrains for the facies architecture of a Miocene carbonate ramp in central Italy. *Terra Nova*, 14: 257-262.
- Cosovic, V., Drobne, K., Moro, A., 2004. Paleoenviornmental model for Eocene foraminferal Limstones of the Adriatic carbonare platform (Istrian Peninsula). *Facies*, 50: 61-75.
- Dunham, R.J., 1962. Classification of carbonate rocks according to depositional texture. In. Ham, W. E., (ed.), *Classification of Carbonate Rocks, A symposium of American Association Petroleum Geologist*, 1: 108-121.
- Embry, A.F., & Klovan, E.J., 1972. Absolute water depth limits of the Devonian paleoecological zones. *Geol. Rundschau*, 61: 672-686.
- Flugle, E., 2004. Microfacies of Carbonate Rocks (Analysis, Interpretation and Application). Springer, Berlin, 985 p.
- Geel, T., 2000. Recognition of stratigraphic sequences in carbonate platform and slope deposits: empirical models based on microfacies analysis of Paleogene deposits in southeastern Spain. *Palaeogeography, Palaeoclimatology, Palaeoecology*, 155: 211-238.
- Halfar, J., & Mutti, M., 2005. Global Dominance of corallin red-algal facies: A respons to Miocene oceanographic- events. *Geology*, 33: 481-484.

- Hallock, P., & Glenn, E.C., 1986. Larger foraminifera: A Tool for Paleoenviornmental analysis of Cenozoic carbonates depositional facies. *Palaios*, 1: 55-64.
- Harzhauser, M., Kroh, A., Mandic, O., Piller, W.E., Gohlich, U., Reuter, M., & Berning, B., 2007. Biogeographic responses to geodynamics: A Key study all around the Oligo-Miocene Tethyan Seaway. *Zoologischer Anzeiger*, 246: 241-256.
- Hottinger, L., 1983. Processes determining the distribution of larger foraminifera in space and time. *Utrecht Micropaleont. Bull.*, 30: 239-253.
- Hottinger, L., 1997. Shallow benthic foraminiferal assemblage as signals for depth of their deposition and their limestones. *Society Geology France Bulletin*, 168: 491-505.
- Leuttreger, S., 1984. Symbiosis in benthic foraminifera: specificity and host adaptations. *J. Foram. Res*, 14: 16-35.
- Okhravi, R., & Amini, A., 1998. An example of mixed carbonate-pyroclastic sedimentation (Miocene, Central Basin, Iran). *Sedimentology*, 118: 37-54.
- Pomar, L., 2001. Ecological control of sedimentary accommodation: evolution from a carbonate ramp to rimmed shelf, Upper Miocene, Balearic Islands. *Palaeogeography, Palaeoclimatology, Palaeoecology*, 175: 249-272.
- Reuter, M., Piller, W.E., Harzhauser, M., Mandic, O., Berning, B., Rogl, F., Kroh, A., Aubry, M.P., Wielandt-Schuster, U., & Hamedani, A., 2007. The Oligo-/Miocene Qom Formation (Iran): evidence for an early Burdigalian restriction of Tethyan Seaway and closure of its Iranian gateways. *International Journal of Earth Sciences*. Doi: 10.1007/s00531-007-0269.
- Romero, J., Caus, E., & Rossel, J., 2002. A model for the Palaeoenvironmental distribution of larger foraminifera based on Late Middle Eocene deposits on the margin of the south Pyrenean Basin (SE Spain). *Palaeogeography, Palaeoclimatology, Palaeoecology*, 179: 43-56.
- Stöcklin, J., & Setudehnia, A., 1971. Stratigraphic Lexicon of Iran. *Geological Survey of Iran*, Report 18: 1-376.
- Vaziri-Moghaddam, H., Kimiagari, M., & Taheri, A., 2006. Depositinal environment and sequence stratigraphy of the Oligocene-Miocene Asmari Formation in SW Iran. *Facies*, 52: 41- 51.
- Vaziri-Moghaddam, H., & Torabi, H., 2004. Biofacies and sequence stratigraphy of the Oligocene succession, Central basin, Iran. *N. Jb. Geol. Palaont.*, Stuttgart, 6: 321-344.
- Wilson, J.L., 1975. Carbonate Facies in Geologic History. *Springer*, New York, 471.
- Wilson, M.E.J., & Evans, M.E.J., 2002. Sedimentology and diagenesis of Tertiary carbonates on the Mangkalihta Peninsula, Borneo: implication for subsurface reservoir quality. *Marine and Petroleum Geology*, 19: 873-900.

Microfacies analysis and depositional environment of the Qom Formation in the Jazeh area (South of Kashan)

^{1*}**Mohammadi, E., ²Safari, A., ²Vaziri-Moghaddam, H., ³Mohammadi Monfared, M.**

1- M.Sc student in Paleontology, Department of Geology, Faculty of Science, University of Isfahan, Iran

2- Department of Geology, Faculty of Science, University of Isfahan, Iran

3- Ph.d student in Paleontology, Department of Geology, Faculty of Science, University of Isfahan, Iran

*E-mail: emohammadi02@gmail.com

Abstract

Sediments of the Qom Formation in the Jazeh area, south of Kashan, are Ropelian - Chatian in age and have a thickness of 299 meters. It consists of medium to thick bedded and massive limestone, shale and marl. They overlie on the Eocene volcanic rocks with unconformity and its upper boundary is covered by alluvium. 230 samples have been collected and thin section was prepared. Based on petrographical studies of depositional textures, and fauna, 10 microfacies have been identified that were deposited in open marine and lagoon subenvironments. Based on microfacies analysis and field observation, Qom Formation in the study area is deposited on an open shelf.

Key word: Qom Formation, Microfacies, Carbonate platform, Oligocene.